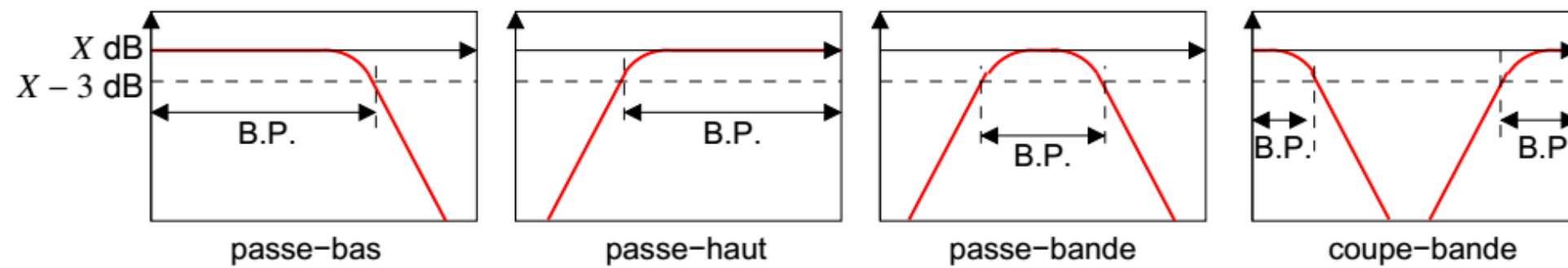
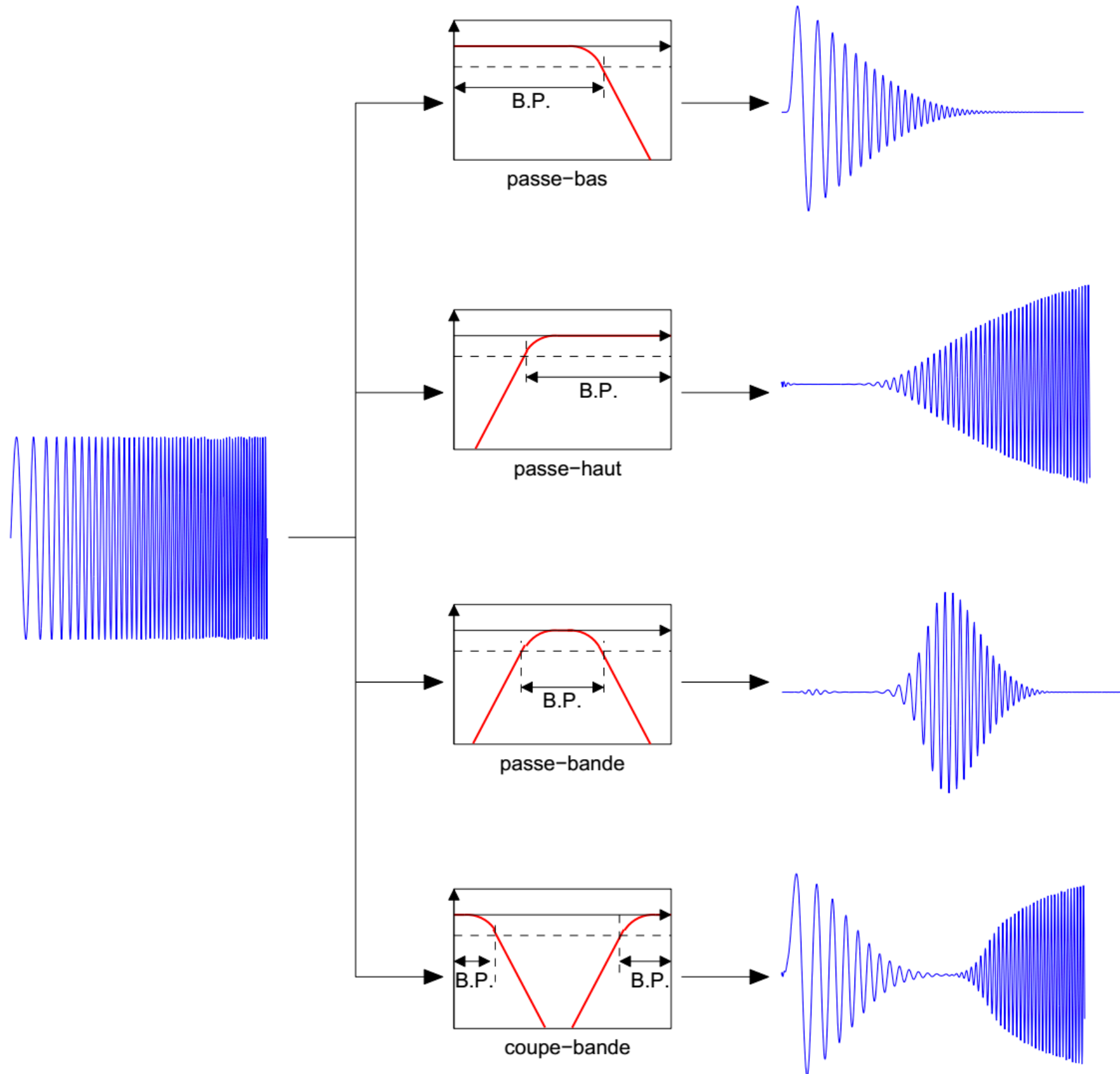


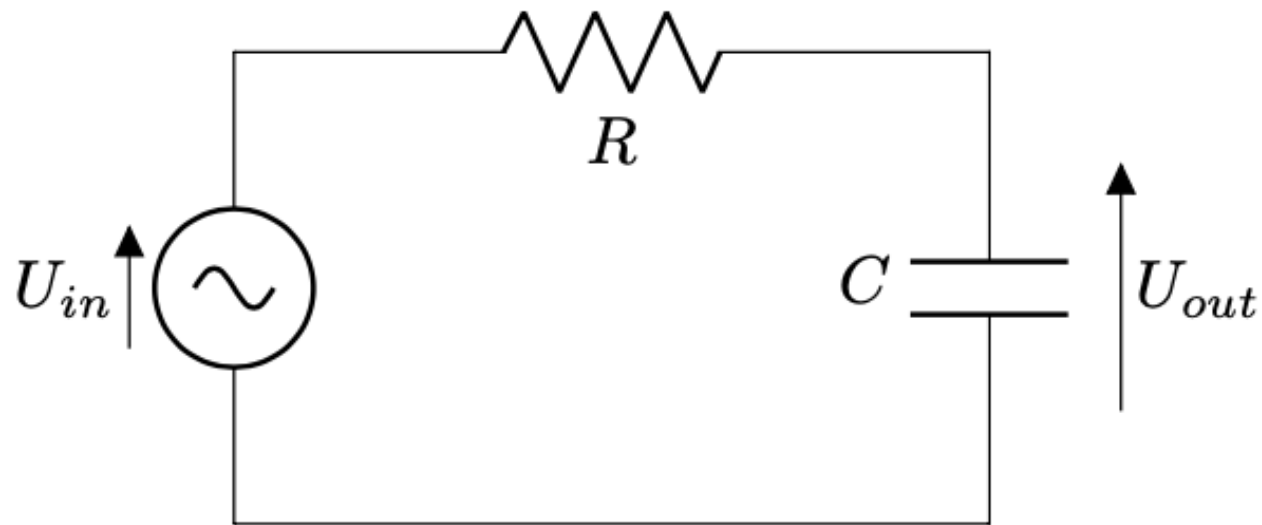
# Principaux types de filtres



# Principaux types de filtres



# Filtres RC passe-bas

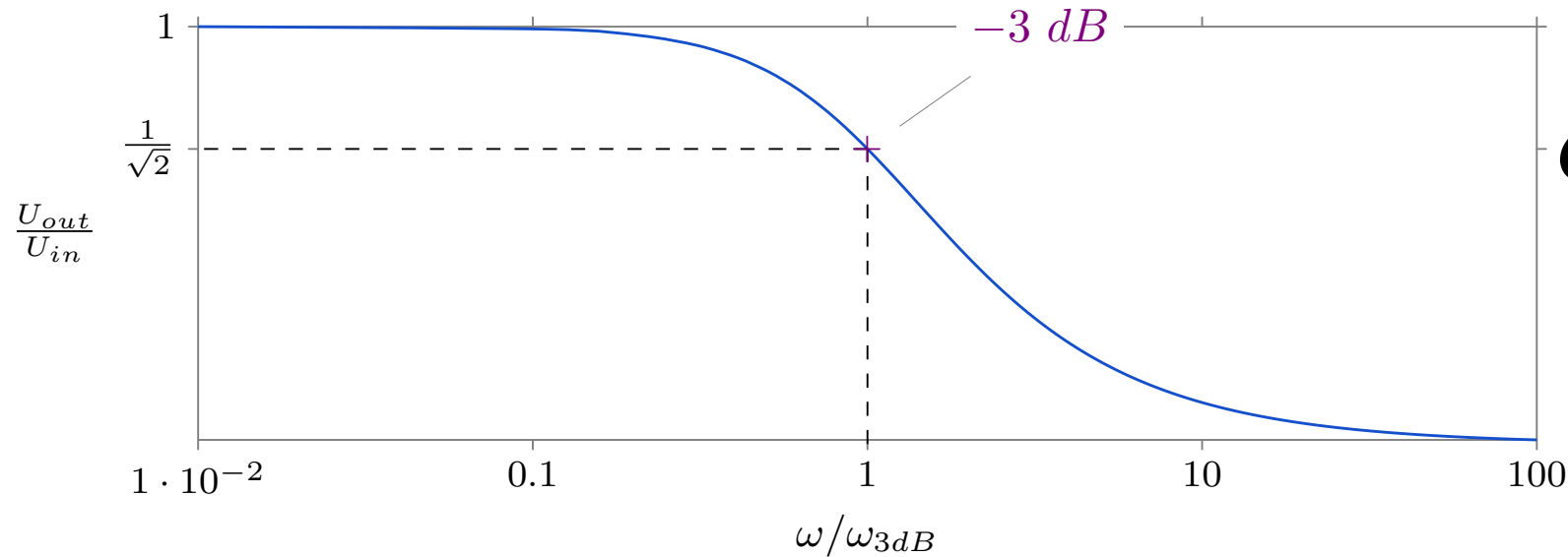


$$\mathbf{H}(\omega) = \frac{1}{1 + j\omega RC}$$

$$G(\omega) = |\mathbf{H}(\omega)| = \frac{1}{\sqrt{1 + \omega^2 R^2 C^2}}, \quad \phi(\omega) = -\arctan(\omega RC)$$

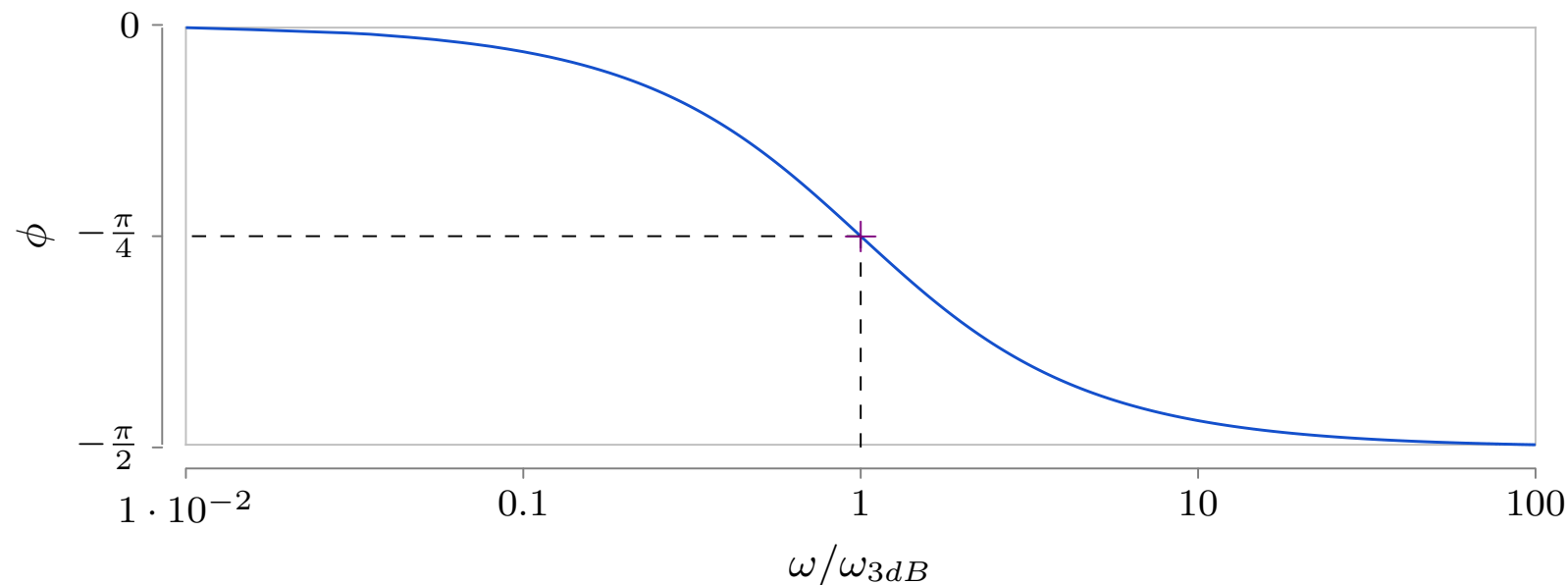
- $\lim_{\omega \rightarrow 0} G(\omega) = 1$
- $\lim_{\omega \rightarrow +\infty} G(\omega) = 0$
- $\lim_{\omega \rightarrow 0} \phi(\omega) = 0$
- $\lim_{\omega \rightarrow +\infty} \phi(\omega) = -\frac{\pi}{2}$

# Filtres RC passe-bas



$$G_{dB} = 20 \log_{10} \left( \frac{1}{\sqrt{1 + \omega^2 R^2 C^2}} \right)$$

- $f_{-3dB} = \frac{1}{2\pi RC}$
- $\omega_{-3dB} = \frac{1}{RC}$



Bande-passante :  $[0 ; f_{-3dB}]$

- $\lim_{\omega \rightarrow 0} G(\omega) = 1$
- $\lim_{\omega \rightarrow +\infty} G(\omega) = 0$
- $\lim_{\omega \rightarrow \omega_{-3dB}} G(\omega) = \frac{1}{\sqrt{2}}$

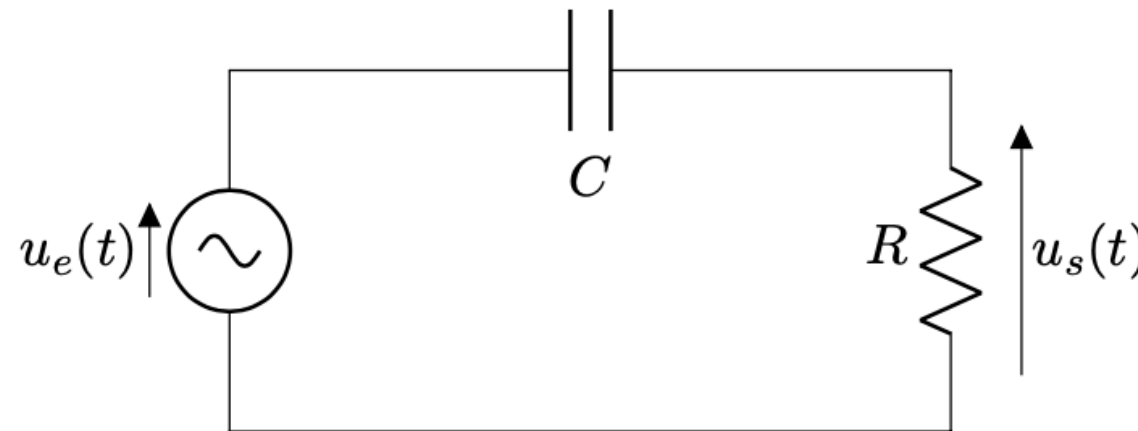
- $\lim_{\omega \rightarrow 0} \phi(\omega) = 0$
- $\lim_{\omega \rightarrow +\infty} \phi(\omega) = -\frac{\pi}{2}$
- $\lim_{\omega \rightarrow \omega_{-3dB}} \phi(\omega) = -\frac{\pi}{4}$

# Question 3 Examen de mai 2019

## 3 Filtre RC

(10 points)

On considère le filtre ci-dessous soumis à une tension d'entrée sinusoïdale  $u_e(t)$  de pulsation  $\omega$  :



Rappel :

$$\text{Diviseur de tension } \frac{U_s}{U_e} = \frac{R_2}{R_1 + R_2}$$

1. Donnez l'expression du module du gain  $\frac{|u_s|}{|u_e|}$  en fonction de la pulsation  $\omega$  de la tension d'entrée  $u_e(t)$ .

/2

$$\frac{|u_s|}{|u_e|} = \frac{|Z_R|}{|Z_R + Z_C|} = \frac{R}{\sqrt{R^2 + \frac{1}{\omega^2 C^2}}} = \frac{R}{\sqrt{\frac{\omega^2 R^2 C^2 + 1}{\omega^2 C^2}}}$$

$$\frac{|u_s|}{|u_e|} = \frac{R}{\sqrt{\frac{1 + \omega^2 R^2 C^2}{\omega^2 C^2}}} = \frac{R}{\frac{\sqrt{1 + \omega^2 R^2 C^2}}{\omega C}} = \frac{\omega R C}{\sqrt{1 + \omega^2 R^2 C^2}} = \frac{x}{\sqrt{1 + x^2}}$$

# Question 3 Examen de mai 2019

2. Calculez le comportement asymptotique du filtre aux basses fréquences ( $\omega \rightarrow 0$ ).

**/2**

$$\lim_{\omega \rightarrow 0} \frac{\omega RC}{\sqrt{1 + \omega^2 R^2 C^2}} = 0$$

# Question 3 Examen de mai 2019

3. Calculez le comportement asymptotique du filtre aux hautes fréquences ( $\omega \rightarrow \infty$ ).

**/2**

$$\lim_{\omega \rightarrow +\infty} \frac{\omega RC}{\sqrt{1 + \omega^2 R^2 C^2}}$$

$$\lim_{x \rightarrow +\infty} \frac{x}{\sqrt{1 + x^2}} = \lim_{x \rightarrow +\infty} \frac{x}{\sqrt{x^2}} = \lim_{x \rightarrow +\infty} \frac{x}{x} = 1$$

# Question 3 Examen de mai 2019

4. Déterminez la fréquence de coupure  $f_{-3dB}$  du filtre si  $R = 10\text{ k}\Omega$  et  $C = 100\text{ nF}$ .

/2

$$\text{À la fréquence de coupure } \frac{\omega RC}{\sqrt{1 + \omega^2 R^2 C^2}} = \frac{1}{\sqrt{2}} \Leftrightarrow \omega RC = 1$$

$$\omega_{-3db} = \frac{1}{RC}, \quad f_{-3dB} = \frac{1}{2\pi RC}$$

$$f_{-3dB} = \frac{1}{2\pi \cdot 10^4 \cdot 10^{-7}} \approx 159\text{ Hz}$$



# Question 3 Examen de mai 2019

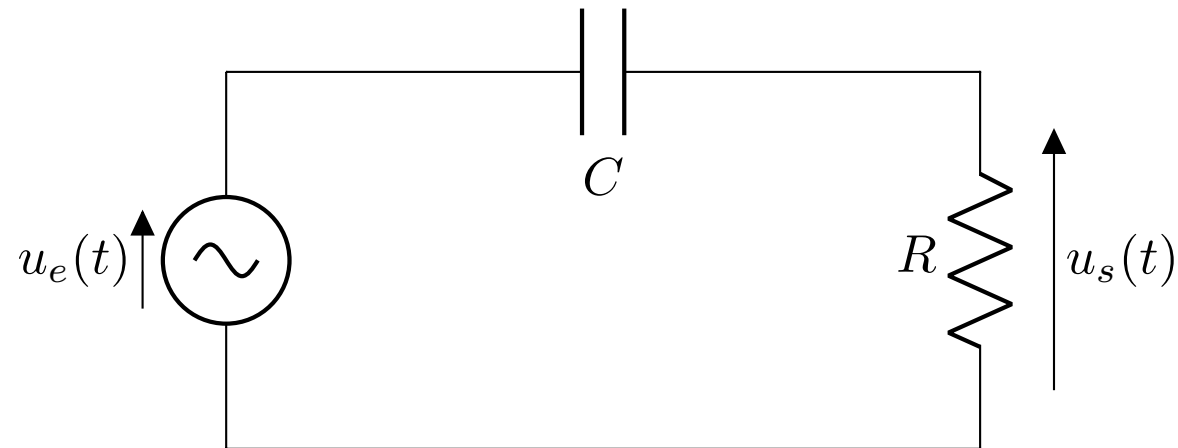
5. De quel type de filtre s'agit-il (passe-bas, passe-haut, coupe-bande, passe-bande) ?

/2

Filtre passe-haut car :

- $\lim_{\omega \rightarrow 0} G = 0$
- $\lim_{\omega \rightarrow +\infty} G = 1$

# Filtres RC passe-haut



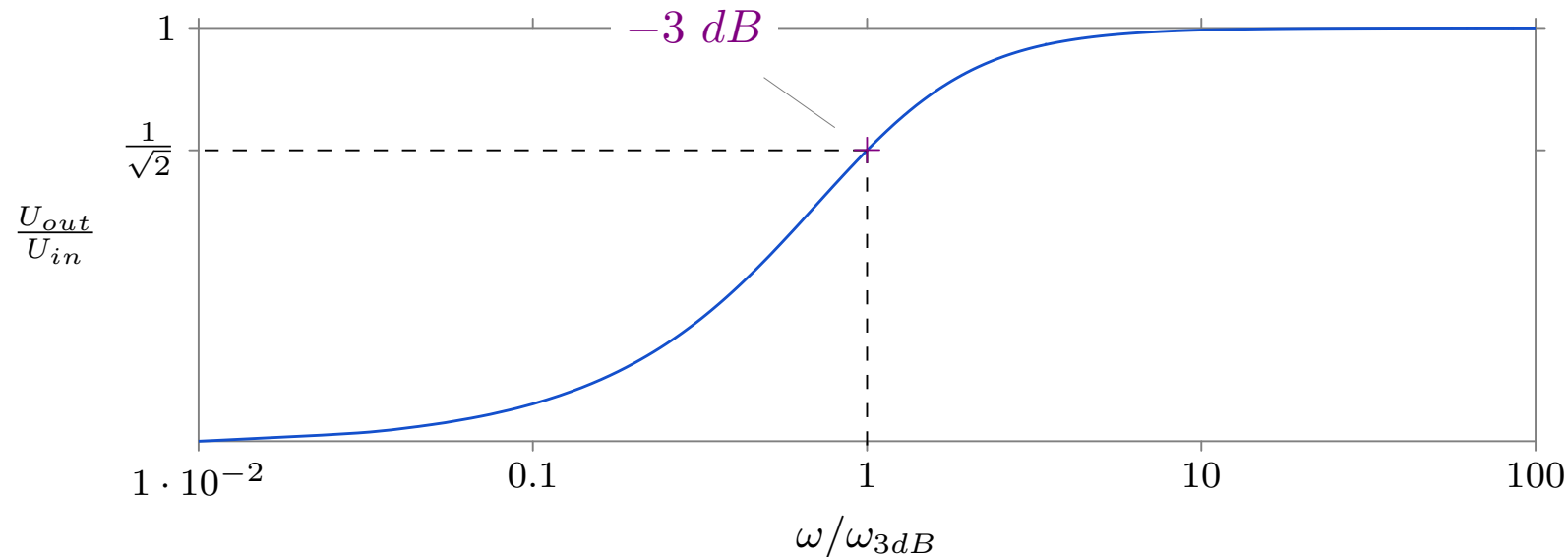
$$\mathbf{H}(\omega) = \frac{R}{R - \frac{j}{\omega C}} = \frac{j\omega RC}{1 + j\omega RC}$$

$$G(\omega) = \frac{|\mathbf{U}_s|}{|\mathbf{U}_e|}$$

$$G(\omega) = |\mathbf{H}(\omega)| = \frac{\omega RC}{\sqrt{1 + \omega^2 R^2 C^2}}, \quad \phi(\omega) = \arctan\left(\frac{1}{\omega RC}\right)$$

- $\lim_{\omega \rightarrow 0} G(\omega) = 0$
- $\lim_{\omega \rightarrow +\infty} G(\omega) = 1$
- $\lim_{\omega \rightarrow 0} \phi(\omega) = \frac{\pi}{2}$
- $\lim_{\omega \rightarrow +\infty} \phi(\omega) = 0$

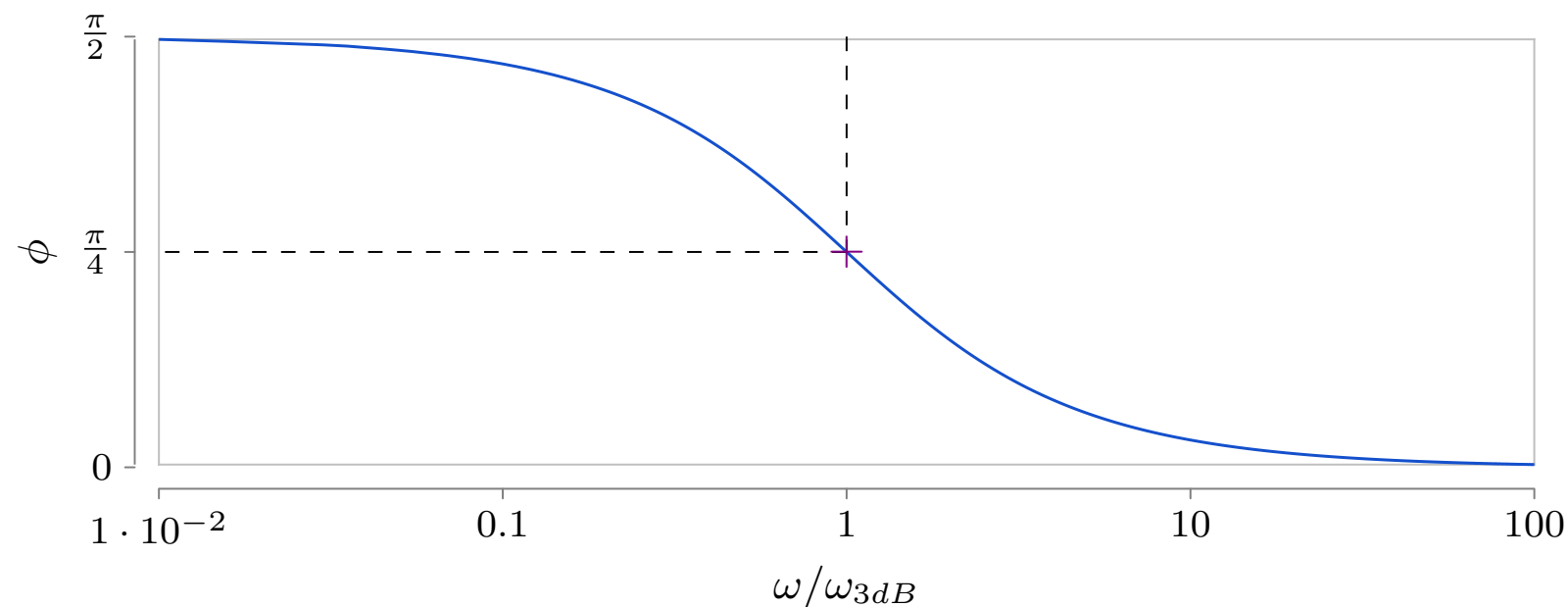
# Filtres RC passe-haut



$$G_{dB} = 20 \log_{10}(G)$$

$$G_{dB} = 20 \log_{10}\left(\frac{\omega RC}{\sqrt{1 + \omega^2 R^2 C^2}}\right)$$

- $f_{-3dB} = \frac{1}{2\pi RC}$
- $\omega_{-3dB} = \frac{1}{RC}$



Bande-passante :  $[f_{-3dB} ; +\infty[$

- $\lim_{\omega \rightarrow 0} G(\omega) = 0$

- $\lim_{\omega \rightarrow +\infty} G(\omega) = 1$

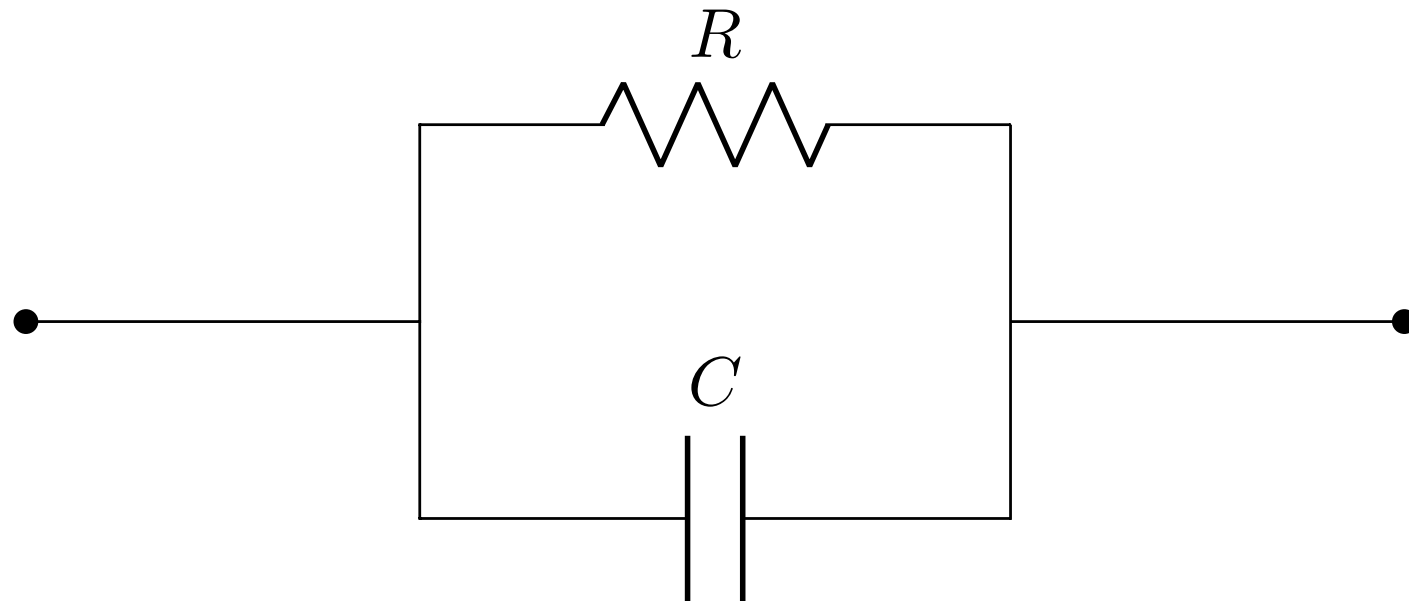
- $\lim_{\omega \rightarrow \omega_{-3dB}} G(\omega) = \frac{1}{\sqrt{2}}$

- $\lim_{\omega \rightarrow 0} \phi(\omega) = \frac{\pi}{2}$

- $\lim_{\omega \rightarrow +\infty} \phi(\omega) = 0$

- $\lim_{\omega \rightarrow \omega_{-3dB}} \phi(\omega) = \frac{\pi}{4}$

# RC parallèle

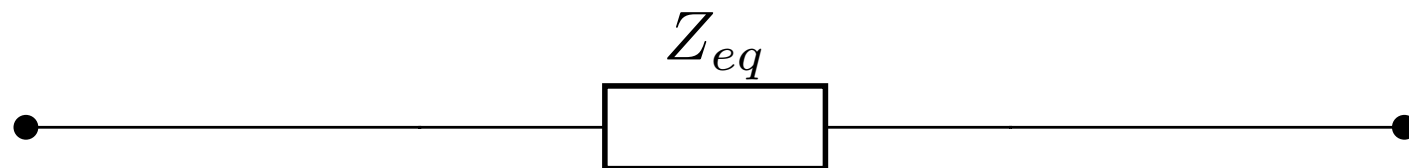


$$Z_1 = R$$

$$Z_2 = -\frac{j}{\omega C}$$

$$j^2 = -1, \frac{1}{j} = -j$$

$$C = 2,20 \mu\text{F}, R = 330 \Omega$$



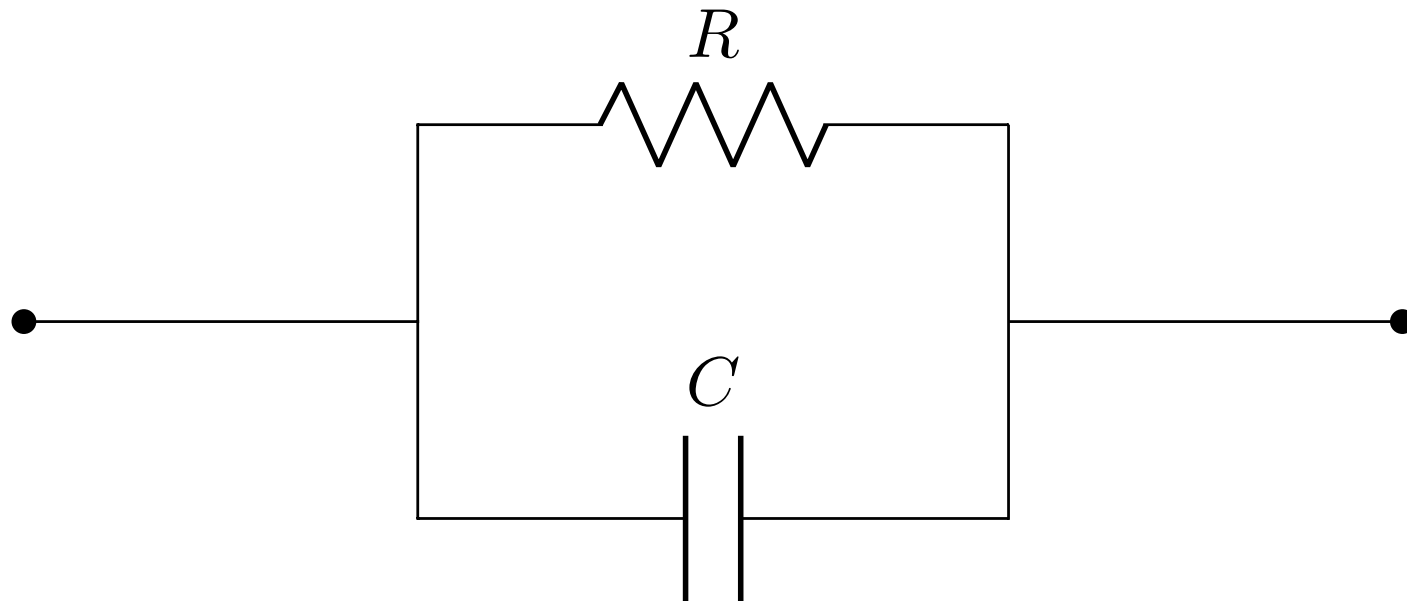
$$\bullet \quad \frac{1}{Z} = \frac{1}{Z_1} + \frac{1}{Z_2} \Leftrightarrow Z = \frac{Z_1 \cdot Z_2}{Z_1 + Z_2}$$

$$Z_{\text{eq}} = \frac{R \cdot (-j/\omega C)}{R - j/\omega C} \cdot \frac{-\omega C/j}{-\omega C/j} = \frac{R}{1 + j\omega RC}$$

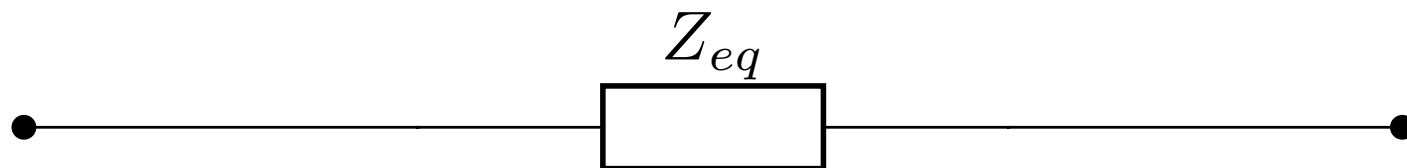
$$|Z_{\text{eq}}| = \frac{R}{\sqrt{1 + \omega^2 R^2 C^2}}$$

$$\tan(\phi) = -\omega RC$$

# RC parallèle



$$C = 2,20 \mu\text{F}, R = 330 \Omega, f = 100 \text{ Hz}$$



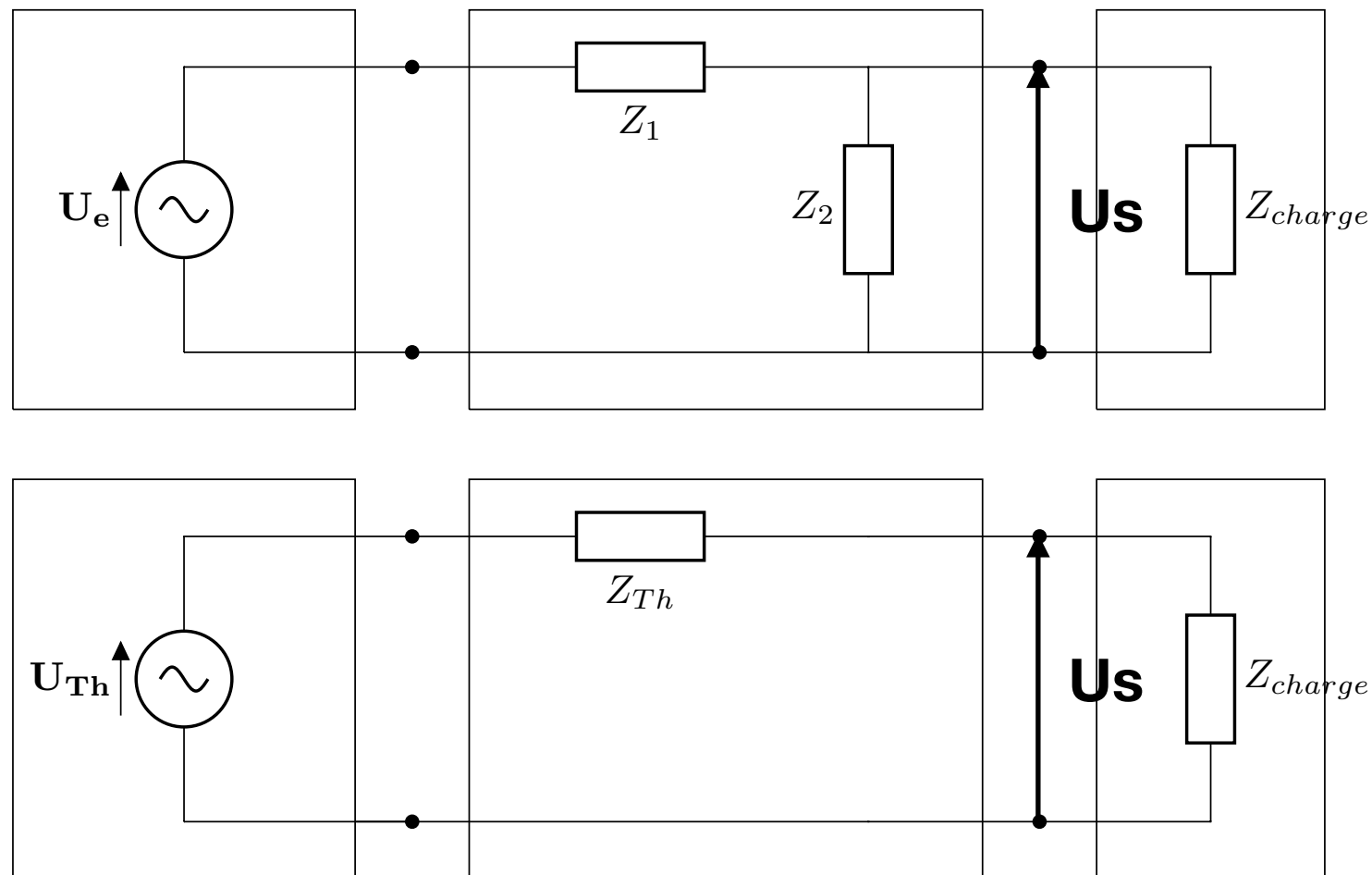
$$|Z_{eq}| = \frac{R}{\sqrt{1 + \omega^2 R^2 C^2}} = \frac{330}{\sqrt{1 + (2\pi \cdot 100)^2 \cdot (2,2 \cdot 10^{-6})^2 \cdot 330^2}} \approx 300 \Omega$$

# Théorème de Thévenin

- Un dipole électrique composé d'une ou plusieurs sources de tension et d'impédances est équivalent à un dipôle composé d'une source de tension  $U_{Th}$  en série avec une impédance  $Z_{Th}$

$U_{Th} = U_{\text{circuit ouvert}}$ , (on remplace  $Z_{charge}$  par un interrupteur ouvert, pas de charge)

$$Z_{Th} = \frac{U_{Th}}{I_{\text{court-circuit}}}, \text{ (on remplace } Z_{charge} \text{ par un fil ou un interrupteur fermé)}$$



# Théorème de Thévenin

$U_{Th} = U_{\text{circuit ouvert}}$ , (on remplace  $Z_{charge}$  par un interrupteur ouvert, pas de charge)

$$Z_{Th} = \frac{U_{Th}}{I_{\text{court-circuit}}}, \text{ (on remplace } Z_{charge} \text{ par un fil ou un interrupteur fermé)}$$

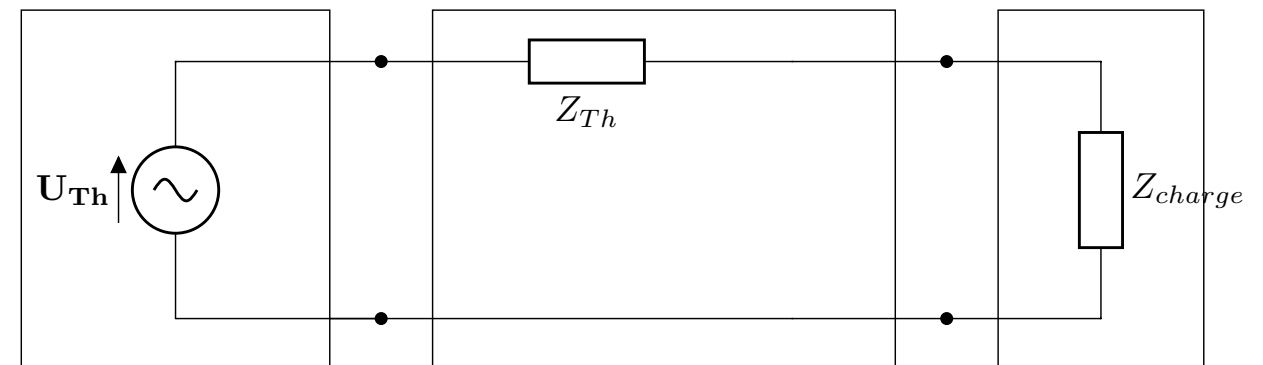
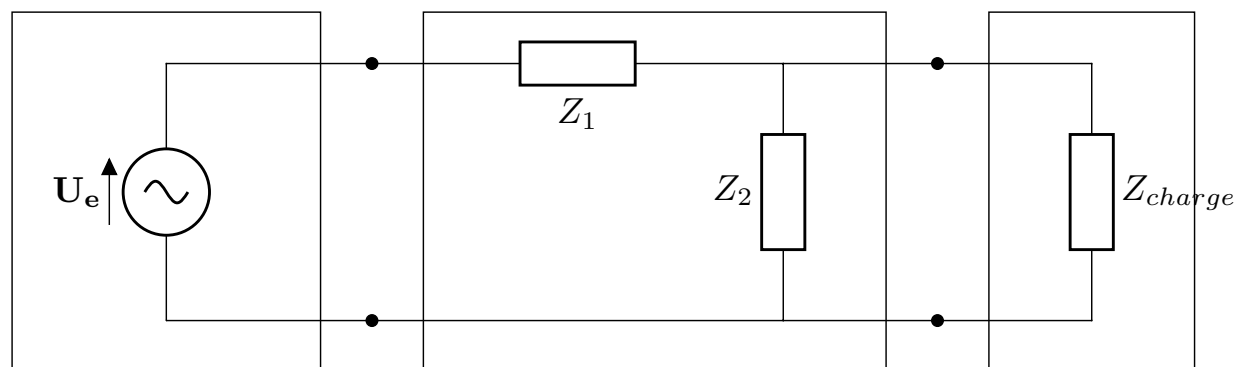
$$U_{Th} = \frac{Z_2}{Z_1 + Z_2} U_e$$

Dans notre cas, on peut montrer que  $Z_{Th} = Z_1 // Z_2$

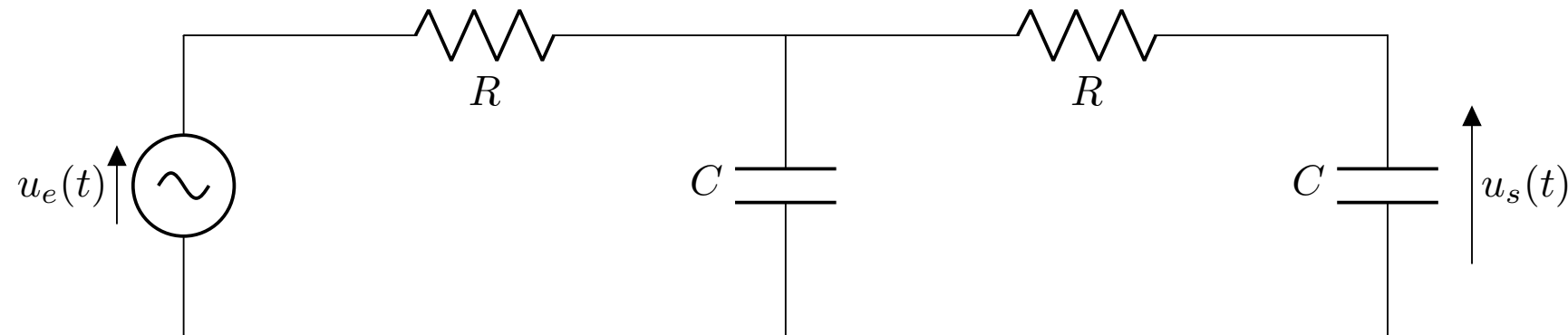
$$I_{\text{court-circuit}} = \frac{U_e}{Z_1}, Z_{Th} = \frac{U_{Th}}{I_{\text{court-circuit}}} = \frac{Z_2}{Z_1 + Z_2} U_e \cdot \frac{1}{U_e / Z_1}$$

$$Z_{Th} = \frac{Z_1 \cdot Z_2}{Z_1 + Z_2}$$

$$U_s = \frac{Z_{charge}}{Z_{Th} + Z_{charge}} U_{Th}$$

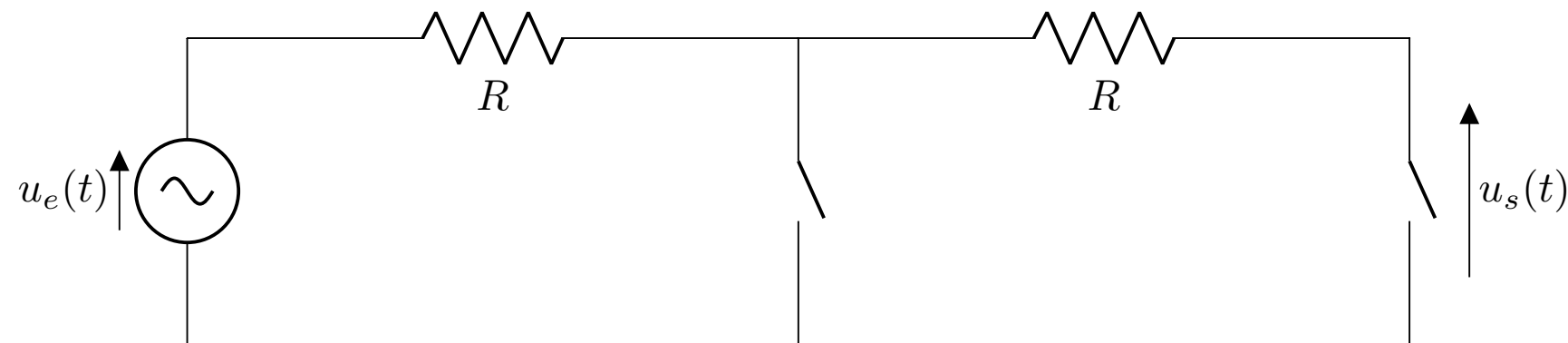


# RC en cascade



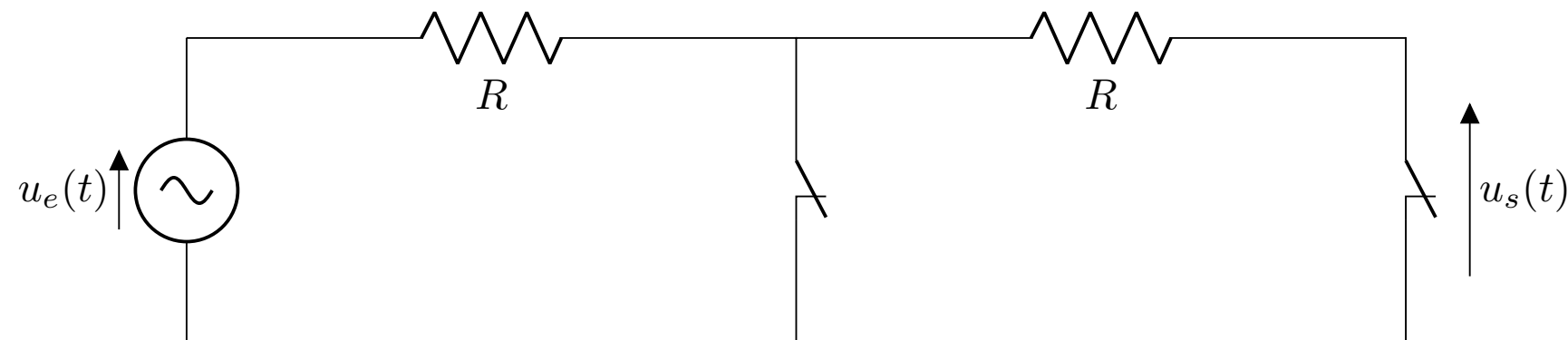
$$\mathbf{Z}_C = -\frac{j}{\omega C}$$
$$|\mathbf{Z}_C| = \frac{1}{\omega C}$$

À **basse fréquence**,  $C$  se comporte comme un interrupteur ouvert.



$$\lim_{\omega \rightarrow 0} U_s = U_e$$

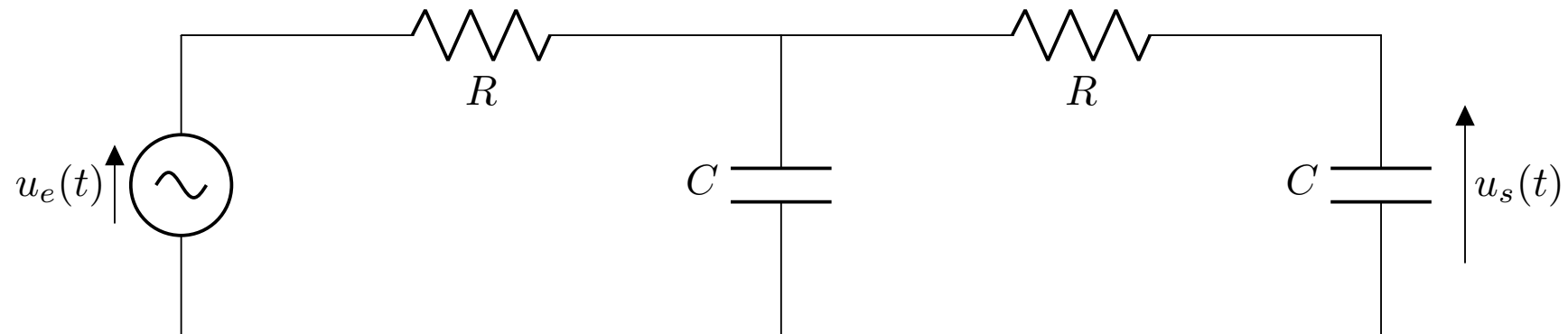
À **haute fréquence**,  $C$  se comporte comme un interrupteur fermé.



$$\lim_{\omega \rightarrow +\infty} U_s = 0$$



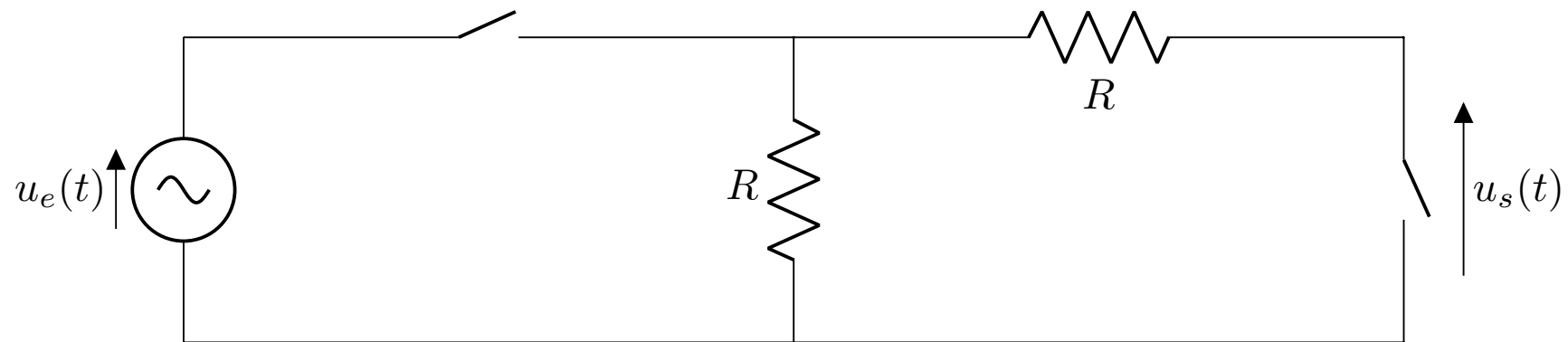
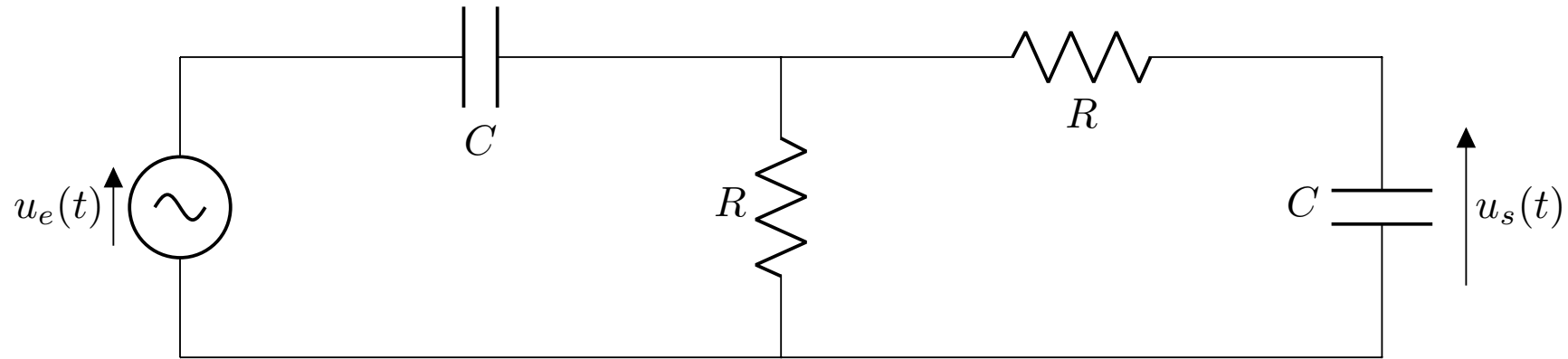
# RC en cascade



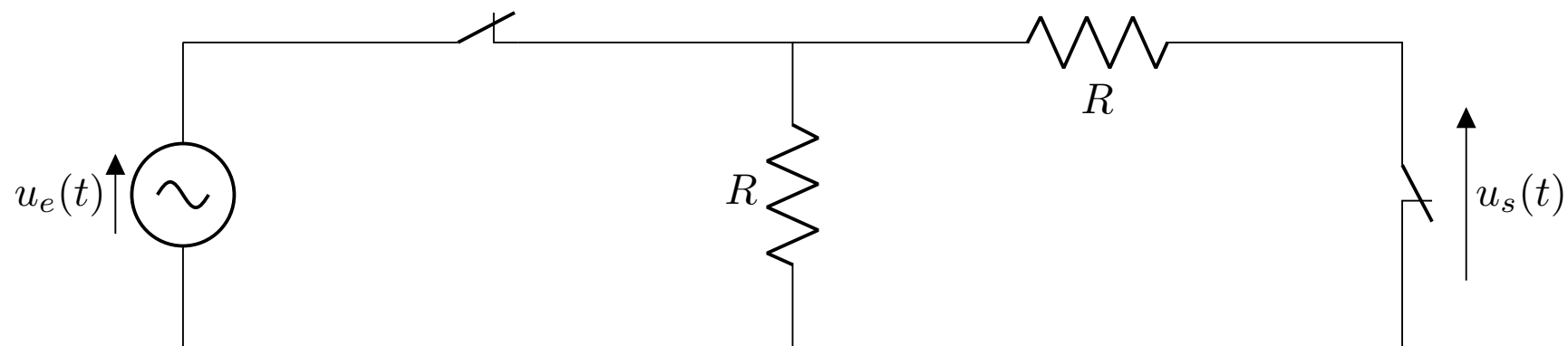
$$\mathbf{H}(\omega) = \frac{1}{1 + 3j\omega RC + (j\omega RC)^2}$$

Essayez de démontrer ce résultat en utilisant le théorème de Thévenin.

# RC en cascade



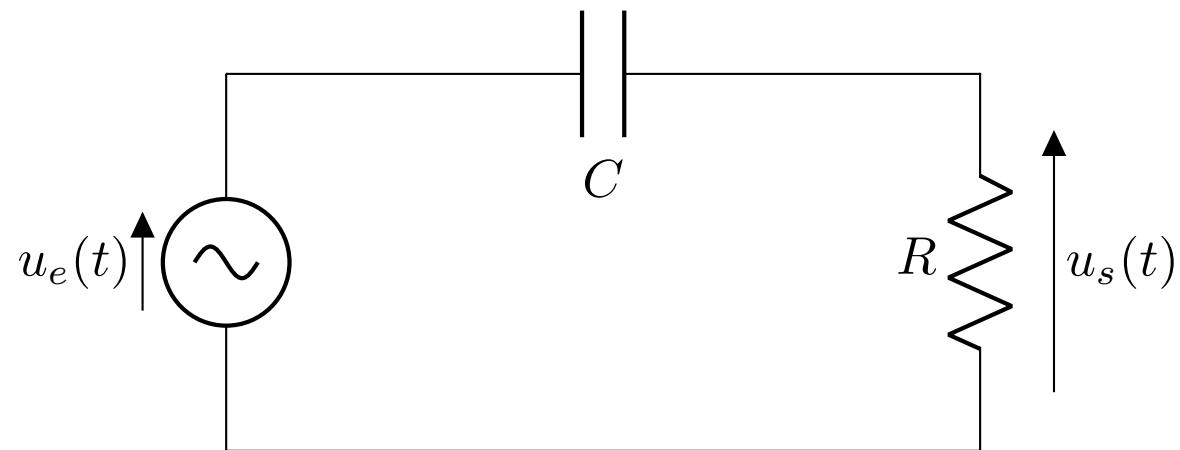
$$\lim_{\omega \rightarrow 0} U_s = 0$$



$$\lim_{\omega \rightarrow +\infty} U_s = U_e$$

$$\frac{1}{R_{eq}} = \frac{1}{R} + \frac{1}{R} = \frac{2}{R}$$

# Filtres RC passe-haut : simulation Qucs



$$C = 100 \text{ nF}, R = 10 \text{ k}\Omega$$